

2009年8月実施
問題1 電気工学
(1頁目/2頁中)

Fig. 1(a)および(b)のような制御系がある．ここで， $R(s)$ は目標値， $Y(s)$ は制御量である． K ， T_1 ， T_2 ， T_3 は正の定数である．次の問に答えよ．

- (1) Fig. 1(a)の制御系において，目標値 $R(s)$ から制御量 $Y(s)$ までの伝達関数を G_1 ， G_2 ， G_3 ， G_4 ， H_1 ， H_2 を用いて表せ．
- (2) Fig. 1(b)の制御系の開ループ伝達関数を $G(s)$ とする．このナイキスト線図の概形を描け．また，ナイキスト線図が負の実軸を横切るときのゲイン $|G(j\omega)|$ を求めよ．
- (3) Fig. 1(b)の制御系が安定となるような K の範囲を T_1 ， T_2 ， T_3 を用いて表せ．
- (4) Fig. 1(b)の制御系において， $G(s)$ のゲイン特性が Fig. 1(c)に示すボード線図上の漸近線で表されるとき， K ， T_1 ， T_2 ， T_3 を求めよ．

Consider the control systems shown in Figs. 1(a) and (b), where $R(s)$ and $Y(s)$ denote the reference input and controlled variable, respectively. The constants K ， T_1 ， T_2 ，and T_3 are positive. Answer the following questions.

- (1) In the control system of Fig. 1(a), express the transfer function from the reference input $R(s)$ to the controlled variable $Y(s)$, in terms of G_1 ， G_2 ， G_3 ， G_4 ， H_1 , and H_2 .
- (2) Let $G(s)$ be the open-loop transfer function of the control system of Fig. 1(b). Sketch the Nyquist diagram, and find the gain $|G(j\omega)|$ when the Nyquist diagram intersects the negative real axis.
- (3) Express the range of K in terms of T_1 ， T_2 , and T_3 so that the control system of Fig. 1(b) is stable.
- (4) In the control system of Fig. 1(b), the gain characteristic of $G(s)$ is represented by the asymptotic Bode plot shown in Fig. 1(c). Find K ， T_1 ， T_2 , and T_3 .

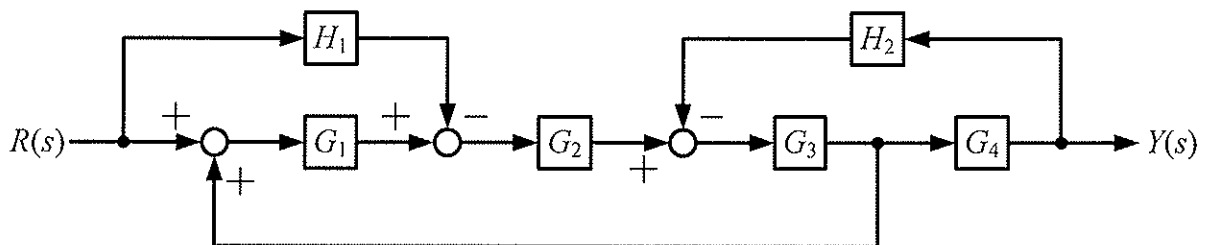


Fig. 1(a)

2009年8月実施
問題1 電気工学
(2頁目/2頁中)

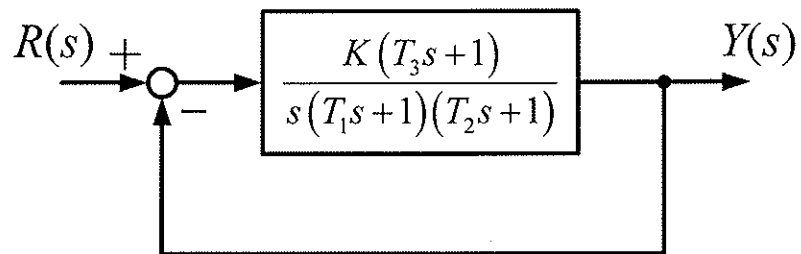


Fig. 1(b)

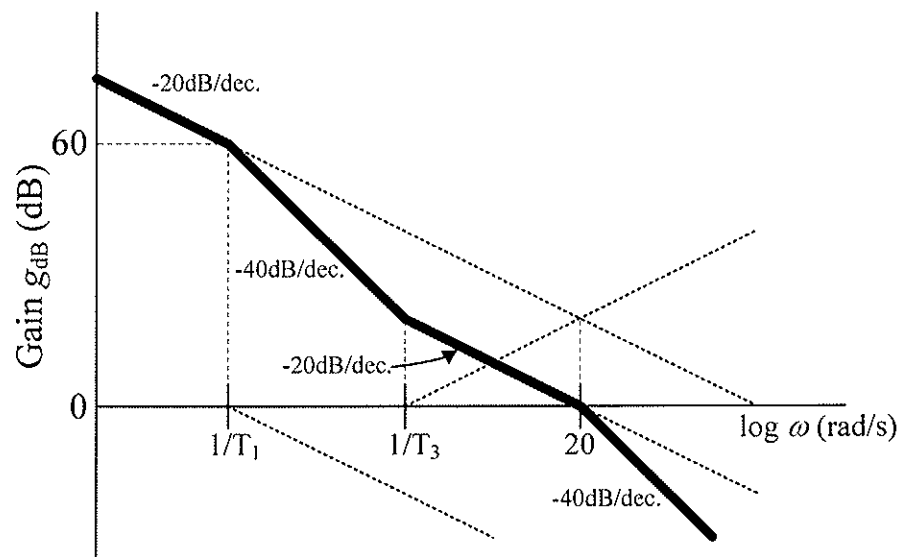


Fig. 1(c)

2009年8月実施
問題2 通信工学
(1頁目／3頁中)

Fig. 2 に示すようなシンボル周期 T 、パルス幅 $T/2$ のバイポーラ RZ 信号

$$g(t) = \sum_{n=-\infty}^{\infty} a_n u(t - nT), \quad u(t) = \begin{cases} 1, & 0 \leq t < \frac{T}{2}, \\ 0, & \text{その他} \end{cases}, \quad a_n = \begin{cases} +1, & \text{データ "1" のとき} \\ -1, & \text{データ "0" のとき} \end{cases}$$

を考える。データ “1” と “0” の生起確率はそれぞれ $1/2$ で、互いに独立に生起するものとする。次の問に答えよ。

(1) $g(t)$ の自己相関関数が

$$R_g(\tau) = \begin{cases} \frac{1}{2} \left(1 - \frac{2|\tau|}{T} \right), & |\tau| \leq \frac{T}{2} \\ 0, & \text{その他} \end{cases}$$

で与えられることを示せ。また、これを用いて $g(t)$ の電力スペクトル密度 $S_g(f)$ を求め、図示せよ。

(2) $g(t)$ をベースバンド信号とした ASK 信号

$$h(t) = g(t) A_c \cos(2\pi f_c t)$$

について、その自己相関関数を求めて、それから $h(t)$ の電力スペクトル密度 $S_h(f)$ を求め、図示せよ。ここで f_c は搬送波周波数で、 $f_c \gg 1/T$ であるとする。

(3) $g(t)$ の BPSK 変調で与えられる以下の信号 $k(t)$ は、問(2)の ASK 信号ならびにその搬送波を同時に伝送できることを示せ。

$$k(t) = A_c \cos[2\pi f_c t + \phi(t)], \quad \phi(t) = \frac{\pi}{2} [1 - g(t)]$$

2009年8月実施
問題2 通信工学
(2頁目／3頁中)

Consider a bipolar RZ signal with a symbol period T and pulse width $T/2$, as shown in Fig. 2, which is represented as

$$g(t) = \sum_{n=-\infty}^{\infty} a_n u(t - nT), \quad u(t) = \begin{cases} 1, & 0 \leq t < \frac{T}{2} \\ 0, & \text{otherwise} \end{cases}, \quad a_n = \begin{cases} +1, & \text{for data "1"} \\ -1, & \text{for data "0"} \end{cases}$$

Here, data “1” and “0” are assumed to occur with a probability of 1/2, respectively, and are independent. Answer the following questions.

(1) Show that the autocorrelation function of $g(t)$ is given by

$$R_g(\tau) = \begin{cases} \frac{1}{2} \left(1 - \frac{2|\tau|}{T} \right), & |\tau| \leq \frac{T}{2} \\ 0, & \text{otherwise} \end{cases}$$

Then, using this result, derive the power spectral density $S_g(f)$ of the signal $g(t)$, and sketch $S_g(f)$.

(2) Let $h(t)$ be an ASK signal generated from a baseband signal $g(t)$, which is represented as

$$h(t) = g(t) A_c \cos(2\pi f_c t).$$

Derive the power spectral density $S_h(f)$ of the signal $h(t)$ after deriving the autocorrelation function of $h(t)$, and sketch $S_h(f)$. Here, f_c is the carrier frequency and assumed to be $f_c \gg 1/T$.

(3) Show that the following signal $k(t)$ given by a BPSK modulation of $g(t)$ can transmit the ASK signal given in question (2) and its carrier simultaneously.

$$k(t) = A_c \cos[2\pi f_c t + \phi(t)], \quad \phi(t) = \frac{\pi}{2} [1 - g(t)]$$

2009年8月実施
問題2 通信工学
(3頁目／3頁中)

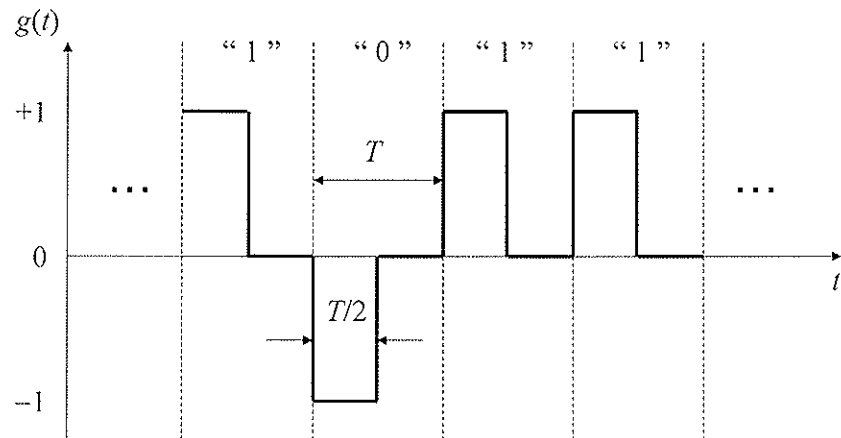


Fig. 2

2009年8月実施
問題3 電子工学
(1 頁目 / 2 頁中)

Fig. 3(a)は、n チャネル MOSFET を用いた RC 結合ソース接地増幅回路を示している。以下の間に答えよ。

(1) Fig. 3(b)は、増幅回路に用いた MOSFET の I_D - V_{DS} 特性を示している。バイアス回路により動作点は図中の点"X" ($V_{GS} = 2.5$ [V], $V_{DS} = 3.0$ [V], $I_D = 2.0$ [mA]) に定められているものとする。以下の間に答えよ。

(a) 電源電圧 V_{DD} および負荷抵抗 R_L の値を求めよ。ただし、Fig. 3(a)に示されるように、ゲート端子に接続されている2つの抵抗は、同じ抵抗値 R であることに注意せよ。

(b) Fig. 3(c)は、MOSFET の断面構造を示している。動作点において A-A' および B-B' に沿ったエネルギーバンド図の概略をそれぞれ示せ。ただし、 $V_{GS} = 0$ [V] の時の A-A' に沿ったエネルギーバンド図を Fig. 3(d) に例示するので参考にせよ。

(c) MOSFET の微小信号モデルは Fig. 3(e) に示される。動作点におけるドレイン抵抗 r_D の値を、Fig. 3(b) の I_D - V_{DS} 特性を用いて求めるとともに、ドレイン抵抗の物理的な由来を説明せよ。

(2) Fig. 3(e) の微小信号モデルを用いて、Fig. 3(a) の増幅回路の微小信号等価回路を示せ。

(3) 結合容量 C_C のインピーダンスが十分小さく無視できる場合において、回路の微小信号電圧利得 $K_V \equiv v_{OUT} / v_{IN}$ を求めよ。

Fig. 3(a) shows a common-source RC-coupled amplifier circuit using an n-channel MOSFET. Answer the following questions.

(1) Fig. 3(b) shows I_D - V_{DS} characteristics of the MOSFET used in the amplifier. The operating point of the MOSFET is assumed to be set at "X" in the figure ($V_{GS} = 2.5$ [V], $V_{DS} = 3.0$ [V], $I_D = 2.0$ [mA]) by the bias circuit. Answer the following questions.

(a) Calculate the values of the power supply voltage V_{DD} and the load resistance R_L . Note that the two resistors connected to the gate electrode have the same resistance R as shown in Fig. 3(a).

(b) Fig. 3(c) shows a cross-sectional view of the MOSFET. Sketch the energy band diagrams along A-A' and B-B' respectively when the MOSFET is biased at the operating point. Refer to Fig. 3(d), which shows the band diagram along A-A' when $V_{GS} = 0$ [V] as an example.

(c) A small-signal model of the MOSFET is shown in Fig. 3(e). Calculate the value of the drain resistance r_D at the operating point using the I_D - V_{DS} characteristics

2009年8月実施
問題3 電子工学
(2頁目/2頁中)

shown in Fig. 3(b) and explain the physical origin of the drain resistance.

- (2) Show a small-signal equivalent circuit of the amplifier shown in Fig. 3(a) using the small-signal model shown in Fig. 3(e).
- (3) Derive the small signal voltage gain

$K_V \equiv v_{OUT} / v_{IN}$ of the amplifier circuit when the impedance of the coupling capacitor C_C is small enough to be ignored:

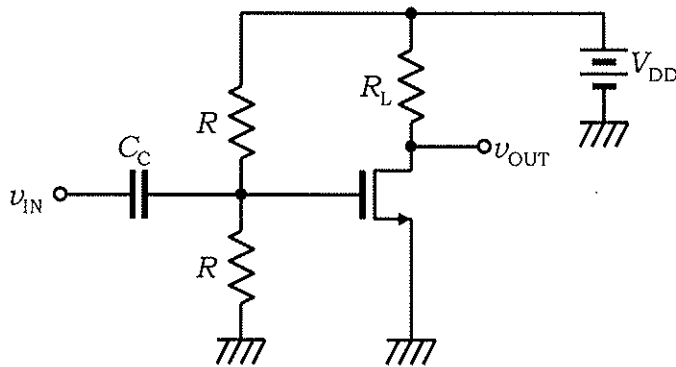


Fig. 3(a) Common-source RC-coupled amplifier.

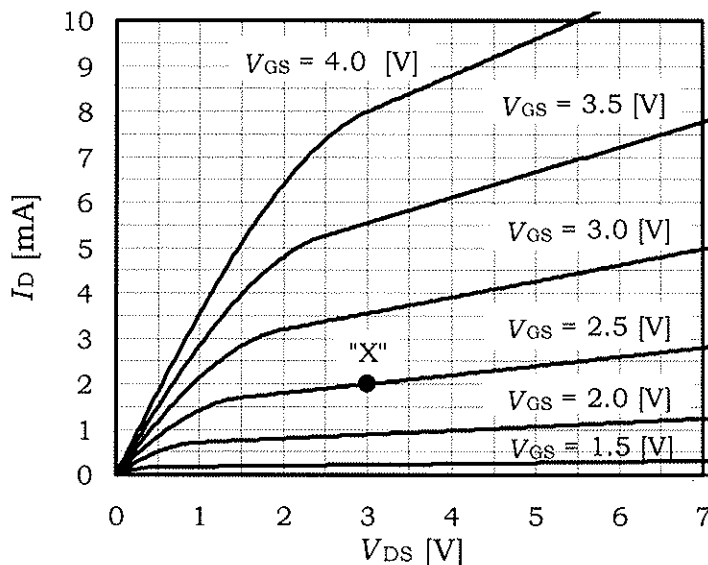


Fig. 3(b) I_D - V_{DS} characteristics of the n-channel MOSFET.

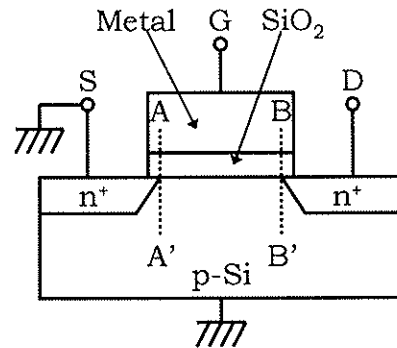


Fig. 3(c) Cross-sectional view of the n-channel MOSFET.

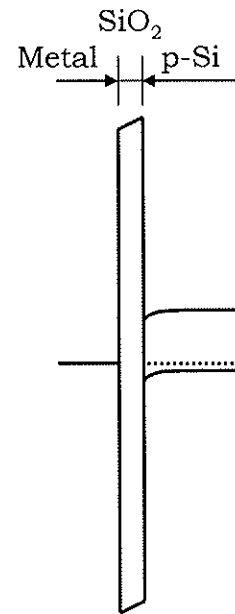


Fig. 3(d) Band diagram along A-A' when $V_{GS} = 0$ [V].

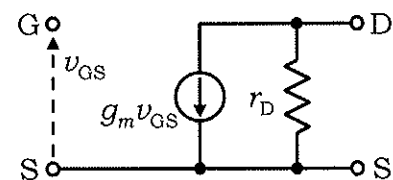


Fig. 3(e) Small-signal model of the MOSFET.

2009 年 8 月実施

問題 4 計算機 1

(1 頁目／1 頁中)

クロックに同期して、2つの1ビット信号 A と B ($A, B \in \{0,1\}$) を受取り、1ビット信号 C ($C \in \{0,1\}$) を出力する同期式順序回路を考える。この回路の内部状態 S は S_0, S_1 のどちらかを取り、排他的論理和 (XOR) $A \oplus B$ が1の時に S_0 から S_1 へ、もしくは S_1 から S_0 へ変化する。また $A \oplus B$ が0の時には内部状態 S は変化しない。さらに、この回路は $S = S_0$ かつ $A \oplus B = 1$ の時、 $C = 1$ を出力し、それ以外では $C = 0$ を出力する。以下の問に答えよ。

- (1) この順序回路の状態遷移図を示せ。
- (2) 排他的論理和 (XOR) $A \oplus B$ を出力する組み合わせ論理回路を、NOT ゲートと 2 入力 NAND ゲートを用いて構成せよ。
- (3) $S_0 = 0, S_1 = 1$ として、この順序回路の状態遷移を与える論理式を示せ。また、1 つの D フリップフロップ、1 つ以上の XOR ゲート及び適当な論理ゲートを用いてこの回路を構成せよ。

Consider a synchronous sequential circuit which receives two 1-bit signals A and B ($A, B \in \{0,1\}$) in synchronization with a clock, and outputs a 1-bit signal C ($C \in \{0,1\}$). The internal state S of this circuit takes either S_0 or S_1 , and changes from S_0 to S_1 or from S_1 to S_0 when the exclusive OR (XOR) $A \oplus B$ is 1. Also, the internal state S does not change when $A \oplus B$ is 0. Furthermore, the circuit outputs $C = 1$ if $S = S_0$ and $A \oplus B = 1$, and outputs $C = 0$ otherwise. Answer the following questions.

- (1) Give a state transition diagram of the sequential circuit.
- (2) Design a combinational logic circuit to output the exclusive OR (XOR) $A \oplus B$ using NOT gates and 2-input NAND gates.
- (3) Supposing $S_0 = 0$ and $S_1 = 1$, show a logical expression which gives state transitions of the sequential circuit. And, design the circuit using a D flip-flop, one or more XOR gates, and suitable logic gates.

2009年8月実施
問題5 計算機2
(1頁目／2頁中)

Fig.5(a) に示すプログラムについて以下の問に答えよ。ただし各式の意味は Fig.5(b) のとおりとする。

- (1) $F(1, 2)$ の値を求めよ。
- (2) 任意の非負整数 n について $F(1, n)$ の値は $n + 2$ であることを示せ。
- (3) スタックを用いた再帰関数の実現方法を説明せよ。
- (4) 問 (3) の方式に基づいて $F(2, n)$ を計算するときに必要なスタック領域の大きさはどれくらいか？ n に関するオーダー記法を用いて答えよ。ただし末尾再帰最適化は行わないものとし、整数は固定長で表現するものとする。

Answer the following questions about the program in Fig.5(a). The meaning of the expressions is summarized in Fig.5(b).

- (1) Give the value of $F(1, 2)$.
- (2) Show that, for every non-negative integer n , the value of $F(1, n)$ is $n + 2$.
- (3) Explain a method for implementing recursive functions using a stack.
- (4) How large is the stack space required for evaluating $F(2, n)$ based on the implementation method of question (3)? Answer in terms of n by using O-notation. Assume that tail-call optimization is not applied, and that integers are represented in fixed length.

2009年8月実施
問題5 計算機2
(2頁目／2頁中)

```
function F(m, n) {
  if m=0 then n+1
  else
    if n=0 then F(m-1,1)
    else F(m-1, F(m, n-1))
}
```

Fig.5(a)

$\text{function } F(x_1, \dots, x_n) \{E\}$	<p>Upon receiving the values of x_1, \dots, x_n, return the value of E.</p> <p>x_1, \dots, x_n の値を受け取ったら E の値を返す.</p>
$F(E_1, \dots, E_n)$	<p>Calculate the values of E_1, \dots, E_n, and call the function F with these values as the arguments.</p> <p>E_1, \dots, E_n の値を計算し, それらの値を引数として関数 F を呼び出す.</p>
$\text{if } E_1 = E_2 \text{ then } E_3 \text{ else } E_4$	<p>If the values of E_1 and E_2 are equal, then return the value of E_3. Otherwise, return the value of E_4.</p> <p>E_1 の値と E_2 の値が等しければ E_3 の値を返し, そうでなければ E_4 の値を返す.</p>

Fig.5(b)

2009年 8 月実施
問題 6 物理専門 1
(1 頁目 / 2 頁中)

電子は x, y, z 成分が 2×2 のエルミート行列

$$S_x = \frac{\hbar}{2} \begin{pmatrix} 0 & 1 \\ 1 & 0 \end{pmatrix}, \quad S_y = \frac{\hbar}{2} \begin{pmatrix} 0 & -i \\ i & 0 \end{pmatrix}, \quad S_z = \frac{\hbar}{2} \begin{pmatrix} 1 & 0 \\ 0 & -1 \end{pmatrix} \quad (6A)$$

で与えられるスピン角運動量 S をもち、スピン角運動量の状態ベクトルは $\begin{pmatrix} a \\ b \end{pmatrix}$ で表現される。ここで、 \hbar はプランク定数を 2π で割った数、 i は虚数単位、 a と b は複素数である。状態ベクトルの規格化条件は $aa^* + bb^* = 1$ で与えられる。ここで、 a^* と b^* はそれぞれ a と b の複素共役である。 $\begin{pmatrix} a \\ b \end{pmatrix}$ に対する量子力学的量 Q の期待値 $\langle Q \rangle$ は

$(a^* \ b^*) Q \begin{pmatrix} a \\ b \end{pmatrix}$ で与えられる。以下の問に答えよ。

- (1) S_x と S_y は以下の交換関係に従うことを示せ。

$$S_x S_y - S_y S_x = i\hbar S_z \quad (6B)$$

- (2) 状態ベクトル $\begin{pmatrix} 1 \\ 0 \end{pmatrix}$ に対して $\Delta S_x \equiv \sqrt{\langle (S_x - \langle S_x \rangle)^2 \rangle}$, $\Delta S_y \equiv \sqrt{\langle (S_y - \langle S_y \rangle)^2 \rangle}$, $\langle S_z \rangle$ の値を計算せよ。

- (3) 式(6B)から以下の不確定性関係が導かれる。

$$\Delta S_x \Delta S_y \geq \frac{\hbar}{2} |\langle S_z \rangle| \quad (6C)$$

問(2)で求めた値を代入することにより、式(6C)が成立していることを確認せよ。

- (4) 以下の固有方程式

$$S_x \begin{pmatrix} a \\ b \end{pmatrix} = \lambda \begin{pmatrix} a \\ b \end{pmatrix} \quad (6D)$$

を解き、固有値 λ と対応する状態ベクトル $\begin{pmatrix} a \\ b \end{pmatrix}$ を決めよ。

- (5) 問(4)の各状態ベクトルに対して $\langle S_x \rangle$, $\langle S_y \rangle$, $\langle S_z \rangle$ を求めよ。また、この状況の物理的意味を記せ。

2009年 8 月実施
問題 6 物理専門 1
(2 頁目 / 2 頁中)

An electron has the spin angular momentum S whose x , y , and z components are given by the following 2×2 Hermitian matrices

$$S_x = \frac{\hbar}{2} \begin{pmatrix} 0 & 1 \\ 1 & 0 \end{pmatrix}, \quad S_y = \frac{\hbar}{2} \begin{pmatrix} 0 & -i \\ i & 0 \end{pmatrix}, \quad S_z = \frac{\hbar}{2} \begin{pmatrix} 1 & 0 \\ 0 & -1 \end{pmatrix}, \quad (6A)$$

respectively, and the state vector of the spin angular momentum is expressed as $\begin{pmatrix} a \\ b \end{pmatrix}$. Here, \hbar is the Planck constant divided by 2π , i the imaginary unit, and a and b are complex numbers. The normalization condition for the state vectors is given by $aa^* + bb^* = 1$, where a^* and b^* are the complex conjugates of a and b , respectively. The expectation value $\langle Q \rangle$ of a quantum mechanical quantity Q is given by $(a^* \ b^*)Q\begin{pmatrix} a \\ b \end{pmatrix}$ for a state vector $\begin{pmatrix} a \\ b \end{pmatrix}$.

Answer the following questions.

- (1) Show that S_x and S_y obey the following commutation relation:

$$S_x S_y - S_y S_x = i\hbar S_z. \quad (6B)$$

- (2) Calculate $\Delta S_x \equiv \sqrt{\langle (S_x - \langle S_x \rangle)^2 \rangle}$, $\Delta S_y \equiv \sqrt{\langle (S_y - \langle S_y \rangle)^2 \rangle}$, and $\langle S_z \rangle$ for a state vector $\begin{pmatrix} 1 \\ 0 \end{pmatrix}$.

- (3) Equation (6B) leads to the following uncertainty relation:

$$\Delta S_x \Delta S_y \geq \frac{\hbar}{2} |\langle S_z \rangle|. \quad (6C)$$

Confirm that eq. (6C) holds by substituting the values obtained in question (2).

- (4) Solve the following eigenequation

$$S_x \begin{pmatrix} a \\ b \end{pmatrix} = \lambda \begin{pmatrix} a \\ b \end{pmatrix}, \quad (6D)$$

and determine the eigenvalue λ and its corresponding state vector $\begin{pmatrix} a \\ b \end{pmatrix}$.

- (5) Find $\langle S_x \rangle$, $\langle S_y \rangle$, and $\langle S_z \rangle$ for each state vector obtained in question (4). Describe the physical meaning of the situation.

2009年8月実施
問題7 物理専門2
(1頁目/2頁中)

複素変数 z の関数

$$F(z) = \frac{1}{z^2 - 2iz - 2}$$

および実変数 x の関数

$$g(x) = \begin{cases} 0 & (|x| < 1) \\ (|x| - 1)e^{-|x|+1} & (|x| \geq 1) \end{cases}$$

を考え、以下の問に答えよ。ただし、 i は虚数単位である。

- (1) 関数 $F(z)$ のすべての孤立特異点とそれに対応する留数を求めよ。
(2) 関数 $g(x)$ のフーリエ変換

$$G(w) = \frac{1}{\sqrt{2\pi}} \int_{-\infty}^{+\infty} g(x)e^{-iwx} dx$$

を求めよ。

- (3) 実変数 x のある関数 $h(x)$ のフーリエ変換 $H(w)$ が

$$H(w) = F(w)G(w)$$

と与えられたとする。区間 $-1 < x < 1$ における任意の実数 x に対してフーリエ逆変換

$$h(x) = \frac{1}{\sqrt{2\pi}} \int_{-\infty}^{+\infty} H(w)e^{iwx} dw$$

を求めよ。

2009年8月実施
問題7 物理専門2
(2頁目／2頁中)

Consider a function

$$F(z) = \frac{1}{z^2 - 2iz - 2}$$

of a complex variable z and a function

$$g(x) = \begin{cases} 0 & (|x| < 1) \\ (|x| - 1)e^{-|x|+1} & (|x| \geq 1) \end{cases}$$

of a real variable x . Answer the following questions. Let i denote the imaginary unit.

- (1) Find all the isolated singular points and their corresponding residues of the function $F(z)$.
- (2) Find the Fourier transform

$$G(w) = \frac{1}{\sqrt{2\pi}} \int_{-\infty}^{+\infty} g(x)e^{-iwx} dx$$

of the function $g(x)$.

- (3) Suppose that the Fourier transform $H(w)$ of a function $h(x)$ of a real variable x is given by

$$H(w) = F(w)G(w).$$

Find the inverse Fourier transform

$$h(x) = \frac{1}{\sqrt{2\pi}} \int_{-\infty}^{+\infty} H(w)e^{iwx} dw$$

for any real number x in the interval $-1 < x < 1$.